

7. Ветлуцкий В. Н., Поплавская Т. В. К расчету ламинарного сжимаемого пограничного слоя на треугольном профилированном крыле со сверхзвуковыми передними кромками // Моделирование в механике.— 1989.— Т. 3(20), № 6.
8. Шевелев Ю. Д. Трехмерные задачи теории ламинарного пограничного слоя.— М.: Наука, 1977.
9. Воскресенский Г. П., Ильина А. С., Татаренчик В. С. Сверхзвуковое обтекание крыльев.— М., 1976.— (Препр./АН СССР, Ин-т прикл. математики; № 104 — 76).
10. Воскресенский Г. П., Ильина А. С., Татаренчик В. С. Сверхзвуковое обтекание крыльев с присоединенной ударной волной // Тр. НАГИ.— 1974.— Вып. 1590.
11. Ветлуцкая Л. М., Ветлуцкий В. Н. К расчету трехмерного несжимаемого ламинарного пограничного слоя на плоской пластине с препятствием // ЧММСС.— 1980.— Т. 11, № 4.
12. Ветлуцкий В. Н., Поплавская Т. В. Расчет ламинарного пограничного слоя на подветренной стороне треугольной пластины со сверхзвуковыми передними кромками // ПМТФ.— 1989.— № 1.

г. Новосибирск

Поступила 3/11 1992 г.,
в окончательном варианте — 1/X 1992 г.

УДК 518.517.94

С. М. Аульченко

ПРИМЕНЕНИЕ МЕТОДА ГРАНИЧНЫХ ЭЛЕМЕНТОВ ДЛЯ РАСЧЕТА ОБТЕКАНИЯ СКОРОСТНОГО ДОЗВУКОВОГО ПРОФИЛЯ

Широкие возможности ЭВМ привели к созданию различных численных методов расчета характеристик профилей, в большинстве из них используется конечно-разностное представление определяющих уравнений в частных производных. Принципиально иным является метод дискретного распределения особенностей для расчета несжимаемого потенциального течения, изложенный в [1]. В [2] показано, что этот метод может быть распространен также на решение двумерного уравнения Пуассона с распределением особенностей не только по границе, но и внутри поля течения, тем самым он дает возможность рассматривать трансзвуковое безударное обтекание профилей.

Метод граничных элементов (МГЭ) позволяет снизить на единицу размерность задачи и значительно уменьшить время расчета, он базируется на предположении, что плотности величин, входящих в интегралы, постоянны в малых ячейках области и в каждом малом элементе границы. С учетом того что процедура МГЭ автоматически удовлетворяет допустимым граничным условиям на бесконечности, необходимо проводить дискретизацию только границы как контура проектируемого тела. Дискретизация области не увеличивает порядка окончательной системы алгебраических уравнений, в которую включено также условие Кутта — Жуковского, записанное через конечные разности. Само граничное интегральное уравнение является формулой задачи, ведущей к точному ее решению. Если численное интегрирование проводится с учетом криволинейности границы, то привносимые погрешности можно сделать очень малыми. Кроме того, численное интегрирование — всегда более устойчивый и точный процесс, чем численное дифференцирование.

Дифференциальные уравнения потенциального безвихревого невязкого течения после использования соотношений

$$(1) \quad \operatorname{div} \mathbf{v} = \frac{\partial v}{\partial s} + v \frac{\partial \theta}{\partial n}, \quad \frac{\partial v}{\partial s} = \frac{v}{M^2 - 1} \frac{\partial \theta}{\partial n}, \quad \frac{\partial v}{\partial n} = v \frac{\partial \theta}{\partial s}$$

можно записать в виде

$$(2) \quad \nabla \mathbf{v} = M^2 \frac{\partial \mathbf{v}}{\partial s}.$$

© С. М. Аульченко, 1993

Здесь s — направление по касательной к линии тока; n — перпендикуляр к ней; θ — угол наклона вектора скорости; M — локальное число Маха. Поскольку течение безвихревое, то после введения потенциала возмущения φ такого, что $v = \nabla\Phi + \nabla\varphi$, с учетом (1), (2) имеем

$$(3) \quad \Delta\varphi = M^2 \frac{\partial v}{\partial s} = Q(M, v)$$

($v_0 = \nabla\Phi$ — скорость невозмущенного потока). Условие непротекания на контуре профиля накладывает на φ требование

$$(4) \quad \varphi'_n = -v_0 \cdot n.$$

Численная реализация условия Кутта — Жуковского для профиля с нулевым углом задней кромки заключается в требовании равенства тангенциальных скоростей в точках ξ^+ и ξ^- на верхней и нижней поверхностях профиля соответственно, если выполнено условие

$$(5) \quad h_t = |\xi^+ - \xi_k| = |\xi^- - \xi_k| \sim \epsilon$$

($\epsilon \ll 1$, ξ_k отвечает концевой точке профиля).

С учетом конечных разностей для производных (5) представим в виде

$$(6) \quad \varphi(\xi^+) - \varphi(\xi^-) = h_t [v_0 \cdot t(\xi^+) - v_0 \cdot t(\xi^-)]$$

(t — вектор касательной к профилю в точке ξ). Используя теорему Грина, потенциал φ можно записать как

$$(7) \quad \begin{aligned} \varphi(\xi) &= \int_C [\varphi(x) F(x, \xi) - v_n(x) G(x, \xi)] dl + \int_{\Omega} Q(x) G(x, \xi) d\Omega, \\ G(x, \xi) &= -\frac{1}{2\pi} \ln r, r = \sqrt{(x_1(x) - x_1(\xi))^2 + (x_2(x) - x_2(\xi))^2}, \\ F(x, \xi) &= n_i(x) \frac{\partial}{\partial x_i} G(x, \xi) = n_i(x) (x_i(x) - x_i(\xi)) / 2\pi r^2 \end{aligned}$$

(v_n — производная от φ по нормали к границе).

Численное решение краевой задачи осуществляется методом дискретного распределения особенностей, оно основано на предположении, что плотности Q , φ , v постоянны в малых ячейках области Ω и в каждом малом элементе границы, представленном отрезком прямой.

Как уже отмечалось, процедура МГЭ автоматически удовлетворяет допустимым граничным условиям на бесконечности, поэтому необходимо проводить дискретизацию только контура профиля. Пусть он разбит на $(N-1)$ элементов, параметры на которых считаются постоянными. На практике область, в которой Q отличен от нуля, ограничена линиями тока выше и ниже профиля, она разбивается на K ячеек. Тогда (7) преобразуется:

$$(8) \quad \begin{aligned} \frac{1}{2} \varphi(\xi_0^p) &= \sum_{q=1}^{N-1} \varphi(x^q) \int_{\Delta C_q} F(x^q, \xi_0^p) dl(x^p) - \\ &- \sum_{q=1}^{N-1} v_n(x^q) \int_{\Delta C_q} G(x^q, \xi_0^p) dl(x^p) + \sum_{k=1}^K Q(x^k) \int_{\Delta \Omega_k} G(x^k, \xi_0^p) d\Omega(x^k) \end{aligned}$$

(ξ_0^p принадлежит элементу границы с номером p , q — номер элемента границы, $v_n(x) \equiv \varphi'_n$). Опираясь на (8), удовлетворяя (4) в конечном $(N-1)$ числе точек коллокации и требуя выполнения (6) в точке ξ_N , получаем систему нелинейных уравнений, где неизвестными являются плотности φ на граничных элементах:

$$(9) \quad F^c \varphi = G^c v_n + G^\Omega Q.$$

Размерности величин, входящих в (9):

$$\dim \|F^c\| = (N \times N), \quad \dim \|G^c\| = (N \times N),$$

$$\dim \|G^\Omega\| = (N \times K), \quad \dim \varphi = N, \quad \dim v_n = N, \quad \dim Q = K.$$

$$\text{Здесь } F_{qp} = \begin{cases} \bar{F}_{qp}, & q \neq p, q = \overline{1, N}, \\ 1/2 - \bar{F}_{qp}, & p = \overline{1, N-1}, \end{cases} \quad \bar{F}_{qp} = \int_{\Delta C_q} F(x^q, \xi^p) dl_q,$$

$$G_{qp}^c = \int_{\Delta C_q} G(x^q, \xi^p) dl_q, \quad p = \overline{1, N-1}, \quad q = \overline{1, N};$$

$$G_{l,p}^\Omega = \int_{\Delta \Omega_{lp}} G(x, \xi^{ip}) d\omega_{lp}, \quad l = \overline{1, K}, \quad p = \overline{1, N-1}, \quad \xi^{ip} \in \Omega.$$

Последнее уравнение в (9) при $p = N$ соответствует условию (6).

Для определения Q как функции M и v в центре ячеек ΔQ используется конечно-разностная схема с участием значений φ в ΔQ , вычисляемых по формуле

$$\begin{aligned} \varphi(\xi_0^p) = & \sum_{q=1}^{N-1} \varphi(x^q) \int_{\Delta C_q} F(x^q, \xi_0^p) dl(x^p) - \\ & - \sum_{q=1}^{N-1} v_n(x^q) \int_{\Delta C_q} G(x^q, \xi_0^p) dl(x^p) + \sum_{k=1}^K Q(x^k) \int_{\Delta \Omega_k} G(x^k, \xi_0^p) d\Omega(x^k), \end{aligned}$$

где ξ_0^p принадлежит ΔQ_p ; $\varphi(x^q)$ — значение, полученное на последней i -й итерации, а $Q(x^k)$ — на $(i-1)$ -й итерации. Итерационный процесс организован по формуле

$$\begin{aligned} \varphi^{(i)} = & \varphi^{(i-1)} - \lambda H(\varphi^{(i-1)}) \\ (H(\varphi^{(i-1)}) = & F^c \varphi^{(i-1)} - G^c v_n - G^\Omega Q^{(i-1)}). \end{aligned}$$

Для его сходимости всегда можно подобрать соответствующее значение λ при условии, что производные от H по φ ограничены константой K_0 [3]. Для двух первых слагаемых это очевидно. Так как нелинейную часть можно представить в виде

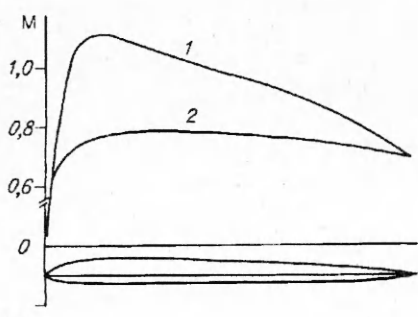
$$Q = \frac{(\mathbf{v}/\mathbf{v}_0)^2 M_0^2}{1 - \frac{\gamma-1}{2} M_0^2 [1 - (\mathbf{v}/\mathbf{v}_0)^2]} \frac{d\mathbf{v}}{ds},$$

а входящие в это выражение \mathbf{v} и $d\mathbf{v}/ds$ вычисляются через конечные разности от $\varphi(\xi_0^p)$, то для любой триангуляции области производные от Q по φ ограничены. С учетом хорошего начального приближения φ_0 , отвечающего решению уравнения (3) с нулевой правой частью, т. е. несжимаемой жидкости, процесс сходится за шесть—восемь итераций. Время расчета ~ 20 с на PC/AT 386. Все сказанное справедливо и для трансзвуковой области, но только до возникновения скачка, приводящего к росту K_0 на нем, к ухудшению и затем к отсутствию сходимости.

Интегралы, содержащие $\ln r$, являются «слабосингулярными» и вычисляются обычным образом вдоль граничного элемента, проходящего через особую точку $x' = \xi'$, причем особенность у этой функции после интегрирования пропадает. Интегралы с $F(x, \xi)$, содержащие особенность порядка $1/r$, являются «сингулярными» и обеспечивают диагональное преобладание матрицы системы алгебраических уравнений и, следовательно, устойчивость решения на каждой итерации [4].

Для примера выбран профиль, спроектированный для использования в трансзвуковом безударном режиме полета. На рисунке представлено распределение числа Маха для условий $M_0 = 0,75$, $\alpha = 0$ (линии 1, 2 соответствуют верхнему и нижнему контурам профиля). Экспериментальные и расчетные интегральные характеристики профиля:

$$\begin{aligned} C_y^a &= 0,129, \quad C_y^p = 0,130, \\ m_z^a &= -0,046, \quad m_z^p = -0,049. \end{aligned}$$



ЛИТЕРАТУРА

- Бреббия К., Теллес Ж., Броубел Л. Методы граничных элементов.— М.: Мир, 1987.
- Luu T. S., Coulmy G. Method of calculating the compressible flow round an aerofoil on a cascade up to the shockfree transonic range // Comput. and Fluids.— 1977.— V. 5.— P. 261.
- Колмогоров А. Н., Фомин С. В. Элементы теории функций и функционального анализа.— М.: Наука, 1972.
- Бенерджи П., Баттерфилд Р. Методы граничных элементов в прикладных науках.— М.: Мир, 1984.

г. Новосибирск

Поступила 22/VI 1992 г,
в окончательном варианте — 29/X 1992 г.

УДК 532.08

В. Ш. Шагапов

О ФИЛЬТРАЦИИ ГАЗИРОВАННОЙ ЖИДКОСТИ

В [1] обнаружены резкое увеличение (примерно в 2—3 раза) расхода жидкости, насыщенной газом (н-гексан с углекислым газом) при фильтрации через пористую среду, при снижении давления на выходе из пористой среды до близкого к давлению газовыделения и уменьшение расхода при дальнейшем снижении давления на выходе. В данной работе для объяснения этого эффекта (резкого увеличения расхода жидкости) предложена схема «газового подшипника». В рамках такой схемы получены выражения для коэффициентов относительной фазовой проницаемости. На основе системы уравнений построены стационарные и автомодельные решения. Проведены сопоставление и анализ найденных решений с экспериментальными данными.

1. Основные уравнения. Рассмотрим течение жидкости в пористой среде при наличии газовыделения. Параметры, относящиеся к жидкой и газовой фазам, отмечены нижними индексами 1 и 2. Уравнения сохранения масс при двухфазной фильтрации имеют вид [2—4]

$$(1.1) \quad \frac{\partial}{\partial t} (\rho_1^0 m S_1) + \nabla \cdot (\rho_1^0 m S_1 v_1) = -I, \quad \frac{\partial}{\partial t} (\rho_2^0 m S_2) + \nabla \cdot (\rho_2^0 m S_2 v_2) = I,$$

где ρ_i^0 , S_i , v_i , m , I — плотность, насыщенность, скорость, пористость и интенсивность газовыделения, отнесенная к единице объема пористой среды. Учитывая, что в процессе массообмена между фазами участвует только растворенный газ, уравнение неразрывности для растворенного газа запишем как

$$(1.2) \quad \frac{\partial}{\partial t} (\rho_1^0 g m S_1) + \nabla \cdot (\rho_1^0 g m S_1 v_1) = -I$$

(g — массовая концентрация растворенного газа). Уравнения импульсов для фаз примем в виде обобщенных законов Дарси

$$(1.3) \quad m S_i v_i = - \frac{k K_i}{\mu_i} \nabla p \quad (i = 1, 2).$$

Здесь k , K_i , μ_i — абсолютная проницаемость пористой среды, относительная проницаемость и динамическая вязкость.

Для зависимости концентрации растворенного газа от давления в области газовыделения примем закон Генри и будем полагать, что газовая фаза удовлетворяет уравнению Клапейрона — Менделеева:

$$(1.4) \quad g = G p, \quad p = \rho_2^0 R T.$$

Кроме того, будем пренебречь зависимостью параметров G , R , m и μ_i от давления и полагать процесс изотермическим ($T = T_0 = \text{const}$).

© В. Ш. Шагапов, 1993